

新ファンアウトボード(その1)の読み出しノイズ

本原顕太郎

1998年10月31日

1 取得したデータとパラメータ

テストデュワーに新1ボードとエンジニアグレードチップを載せて、新アンプボードで読み出した読み出しノイズを再度測定した。

取得したデータとその際のパラメータを表1に示す。

日付	No.	温度 (K)	積分時間 (s)	コメント
1998/10/30	1751~1770	room	3	
	1771~1790	room	12	
	1791~1810	77	3	LN ₂ 入れた直後
	1811~1890	77	12	$N_{Sample}=1,2,4,6$ 、LN ₂ 入れた直後
1998/10/31	1891~1910	77	3	
	1911~2030	77	12	$N_{Sample}=1,2,3,4,5,6$

表1: 取得したデータとパラメータ。ファイルのプレフィックスは noise. である。

2 解析

解析は以下のようにした。

2.1 stddev フレーム

以下の3種類の stddev フレームを作成。ただし、3秒積分のデータでは傾きの除去は行なっていない。

- 生データそのまで、はじめの1枚を除いたフレームで stddev。
- DC オフセットを除去して、はじめの1枚を除いたフレームで stddev。
- 1次のスプライン関数で x,y 方向ともに傾きを除去して、はじめの1枚を除いたフレームで stddev。

2.2 フレームの2次元化

77Kで取得したフレームについては、平均フレームで差し引いて2次元化した。

3 結果: Stddev

stddev フレームを imstat した結果を以下に示す。表の数値の意味は、IRAFで stddev フレームを

```
imstat (filename) lower=0.01 upper=40
```

した結果で、

$$(\text{mean})/(\text{mode}) \pm (\text{stddev})$$

となっている。単位は、ADU r.m.s.。

3.1 10/30 : 室温

Q	No.	T_{int}	Raw+Mask	Offset 除去 +Mask
1	1751-1770	3	5.947/4.693±3.564	6.042/4.737±3.694
	1771-1790	12	5.818/5.082±2.703	5.489/4.743±2.821
2	1751-1770	3	5.78/5.154±2.758	5.805/4.896±2.941
	1771-1790	12	5.659/5.365±1.802	5.437/5.124±1.931
3	1751-1770	3	4.696/4.139±2.422	4.547/4.075±2.142
	1771-1790	12	4.834/4.599±1.52	4.406/4.074±1.479
4	1751-1770	3	5.418/4.744±2.835	5.333/4.661±2.85
	1771-1790	12	5.33/4.972±1.779	5.131/4.694±1.872

3.2 10/30 : 77K

3.2.1 通常読み出し（3秒積分）

Q	No.	T_{int}	Raw+Mask	Offset 除去 +Mask
1	1791-1810	3	7.495/7.019±2.642	5.64/5.299±2.212
2			8.698/8.36±2.396	7.081/6.933±1.877
3			7.411/7.321±1.464	6.09/5.73±1.345
4			7.961/7.932±1.679	6.504/6.2±1.55

3.2.2 マルチサンプル（12秒積分）

Q	No.	N_{sam}	Raw+Mask	Offset 除去 +Mask	傾き除去 +Mask
1	1811-1830	1	9.925/9.388±2.475	5.446/5.079±2.253	5.351/5.092±2.252
	1831-1850	2	9.137/8.77±2.244	3.827/3.532±1.993	3.778/3.454±1.998
	1851-1870	4	10.4/10.11±1.937	2.819/2.564±1.863	2.714/2.374±1.873
	1871-1890	6	7.875/7.598±1.942	2.325/2.035±1.731	2.219/1.903±1.742
2	1811-1830	1	11.03/10.55±2.358	6.867/6.514±1.877	6.784/6.496±1.87
	1831-1850	2	9.939/9.73±2.011	4.805/4.397±1.635	4.765/4.386±1.638
	1851-1870	4	10.86/10.67±1.734	3.456/3.217±1.495	3.359/3.135±1.503
	1871-1890	6	8.185/8.015±1.647	2.821/2.667±1.447	2.724/2.508±1.456
3	1811-1830	1	9.807/9.706±1.543	5.842/5.573±1.382	5.763/5.562±1.37
	1831-1850	2	9.023/8.979±1.183	4.06/3.926±1.074	4.037/3.969±1.072
	1851-1870	4	9.995/9.91±0.9496	2.913/2.85±0.8803	2.844/2.722±0.8812
	1871-1890	6	7.428/7.373±0.785	2.37/2.238±0.7467	2.299/2.213±0.7503
4	1811-1830	1	10.3/10.26±1.763	6.27/6.018±1.637	6.187/5.818±1.629
	1831-1850	2	9.482/9.35±1.364	4.373/4.305±1.281	4.344/4.144±1.283
	1851-1870	4	10.27/10.11±1.12	3.137/2.967±1.125	3.058/2.907±1.13
	1871-1890	6	7.851/7.789±0.9305	2.547/2.458±0.884	2.491/2.263±0.8885

3.3 10/31 : 77K

3.3.1 通常読み出し（3秒積分）

Q	No.	T_{int}	Raw+Mask	Offset 除去 +Mask
1	1891-1910	3	10.45/10.72±2.842	5.887/5.486±2.14
2			11.39/11.03±2.755	7.072/6.672±1.889
3			9.561/8.89±1.97	6.121/5.99±1.335
4			10.24/9.684±2.182	6.581/6.2±1.611

3.3.2 マルチサンプル(12秒積分)

Q	No.	N_{sam}	Raw+Mask	Offset 除去 +Mask	傾き除去 +Mask
1	1911-1930	1	10.26/9.997±2.388	5.555/5.103±2.153	5.367/4.81±2.146
	1931-1950	2	10.37/10.08±2.141	4.388/4.154±1.968	3.954/3.606±2.004
	1951-1970	3	8.052/7.763±2.131	3.144/2.845±1.899	3.106/2.775±1.902
	1971-1990	4	7.267/6.997±2.046	2.82/2.521±1.858	2.695/2.373±1.866
	1991-2010	5	9.134/8.887±1.876	2.482/2.203±1.75	2.409/2.125±1.756
	2011-2030	6	8.234/8.±1.911	2.33/2.071±1.771	2.209/1.973±1.779
2	1911-1930	1	11.11/10.58±2.275	6.748/6.301±1.847	6.58/6.362±1.853
	1931-1950	2	10.96/10.77±1.909	5.162/4.909±1.631	4.755/4.542±1.647
	1951-1970	3	8.523/8.276±1.858	3.789/3.593±1.536	3.75/3.569±1.54
	1971-1990	4	7.658/7.454±1.772	3.364/3.13±1.518	3.238/3.034±1.526
	1991-2010	5	9.467/9.345±1.571	2.938/2.774±1.368	2.867/2.701±1.375
	2011-2030	6	8.535/8.434±1.607	2.742/2.575±1.411	2.625/2.425±1.42
3	1911-1930	1	10.17/9.965±1.483	5.79/5.8±1.365	5.618/5.134±1.341
	1931-1950	2	10.39/10.4±1.125	4.483/4.419±1.029	4.071/3.968±1.04
	1951-1970	3	8.096/8.048±0.9747	3.206/3.056±0.9632	3.197/3.056±0.9598
	1971-1990	4	7.095/6.971±0.839	2.848/2.674±0.8451	2.765/2.622±0.8445
	1991-2010	5	8.733/8.701±0.7708	2.5/2.444±0.816	2.467/2.393±0.8166
	2011-2030	6	7.818/7.683±0.7394	2.328/2.15±0.7601	2.233/2.112±0.7581
4	1911-1930	1	10.44/10.08±1.709	6.253/5.838±1.631	6.08/5.883±1.615
	1931-1950	2	10.64/10.57±1.322	4.83/4.828±1.233	4.407/4.278±1.255
	1951-1970	3	8.091/7.909±1.158	3.471/3.376±1.154	3.449/3.289±1.153
	1971-1990	4	7.381/7.339±1.047	3.077/2.894±1.065	2.975/2.809±1.069
	1991-2010	5	9.123/9.018±0.9321	2.698/2.517±0.9215	2.654/2.58±0.9255
	2011-2030	6	8.089/8.002±0.9195	2.522/2.411±0.9091	2.473/2.376±0.9081

4 結果：2次元化したフレーム

4.1 10/30：冷却完了直後

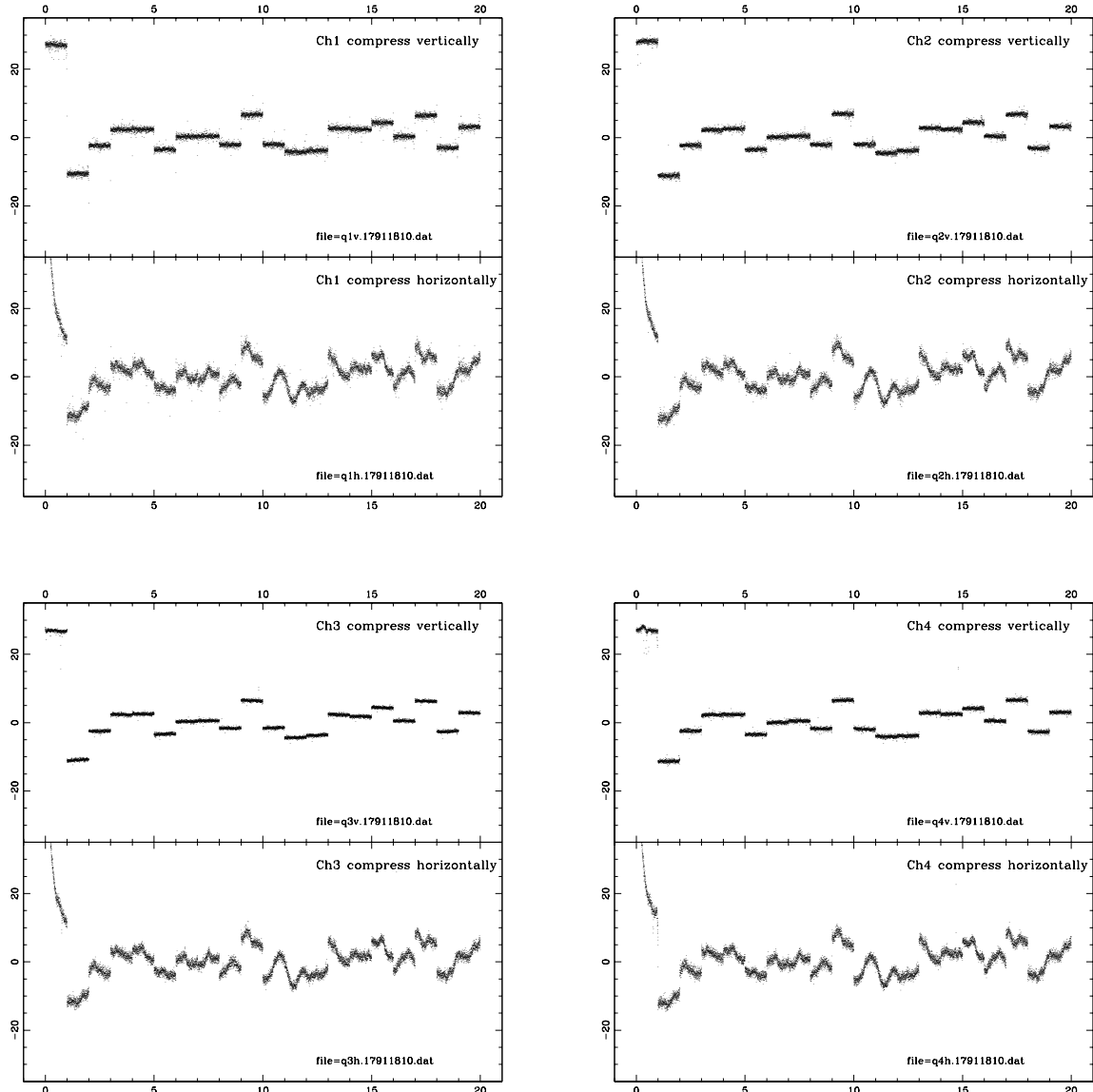


図 1: 2次元化した 1791~1810 フレーム。 $T_{int} = 3.0$ sec, $N_{\text{Sample}} = 1$

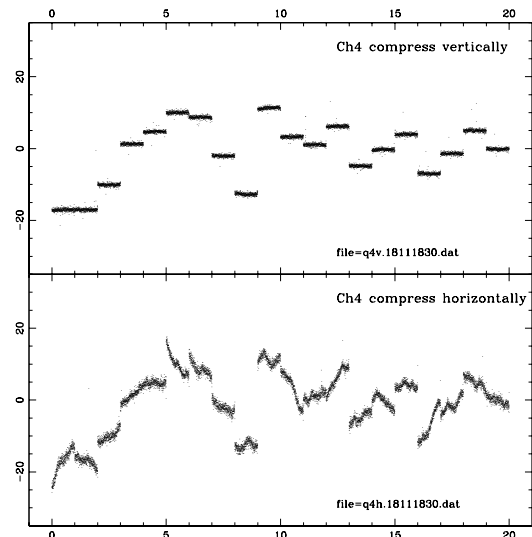
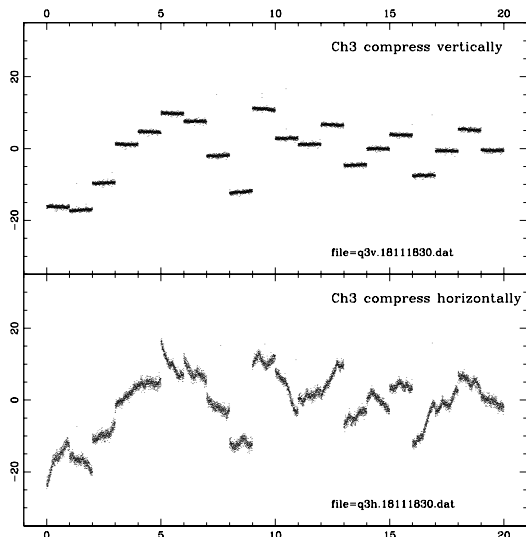
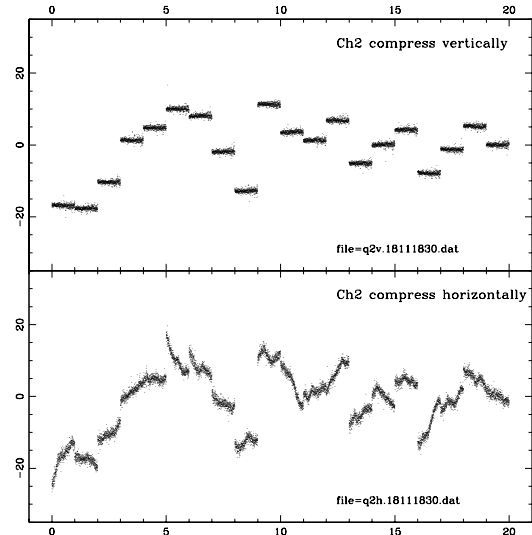
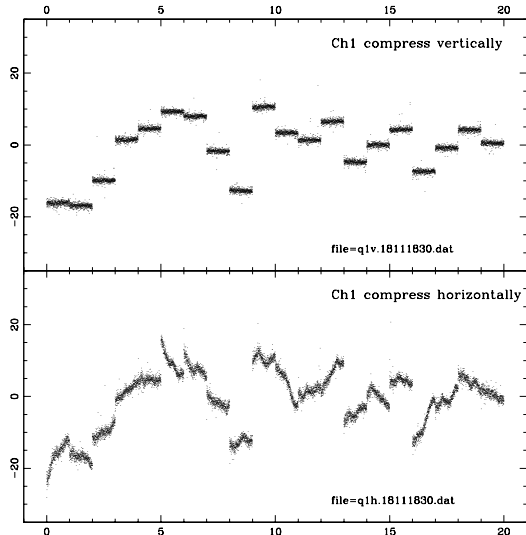


図 2: 2次元化した 1811~1830 フレーム。 $T_{int} = 12.0$ sec, $N_{\text{Sample}} = 1$

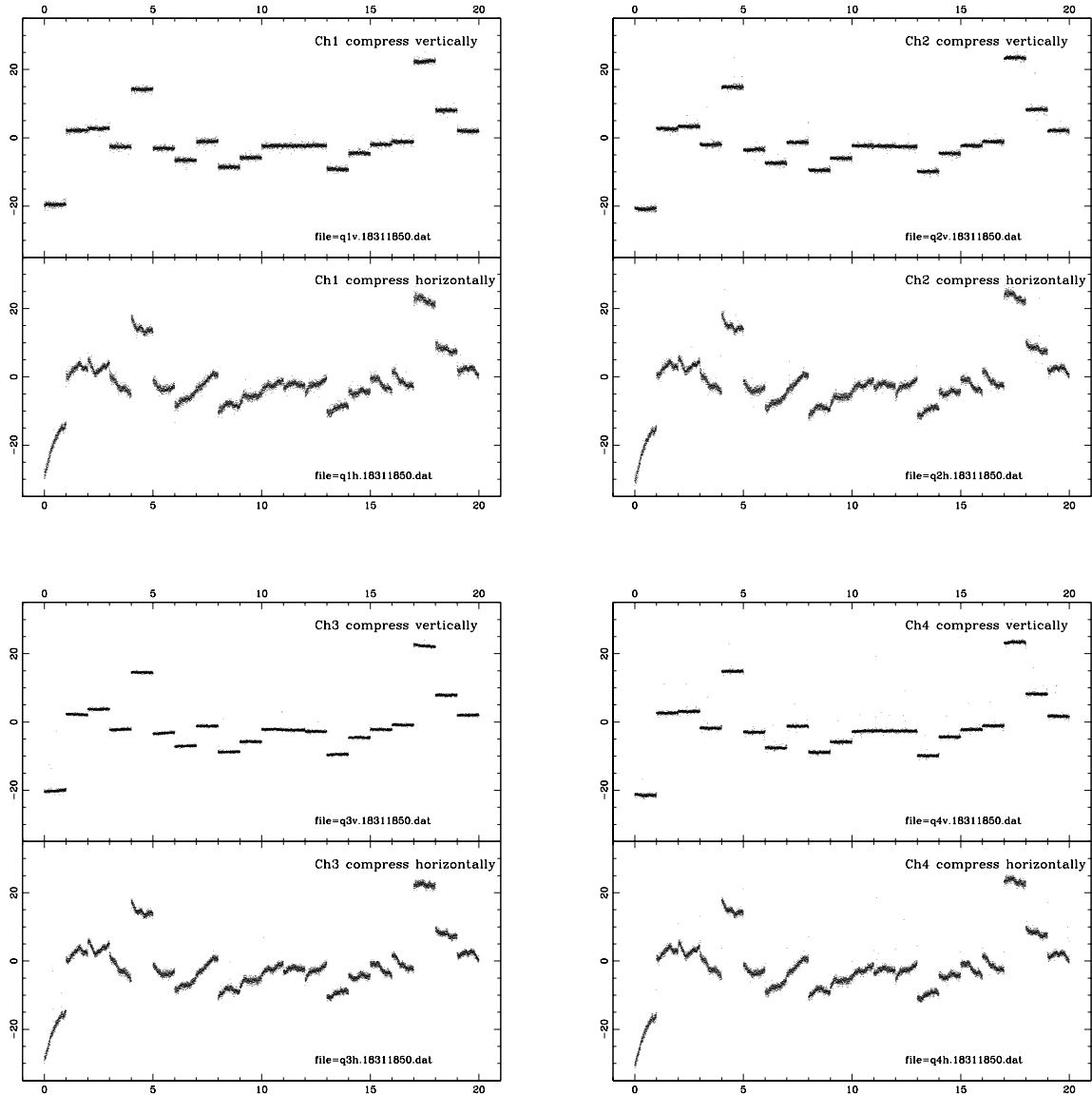


図 3: 2次元化した 1831~1850 フレーム。 $T_{int} = 12.0$ sec, $N_{\text{Sample}} = 2$

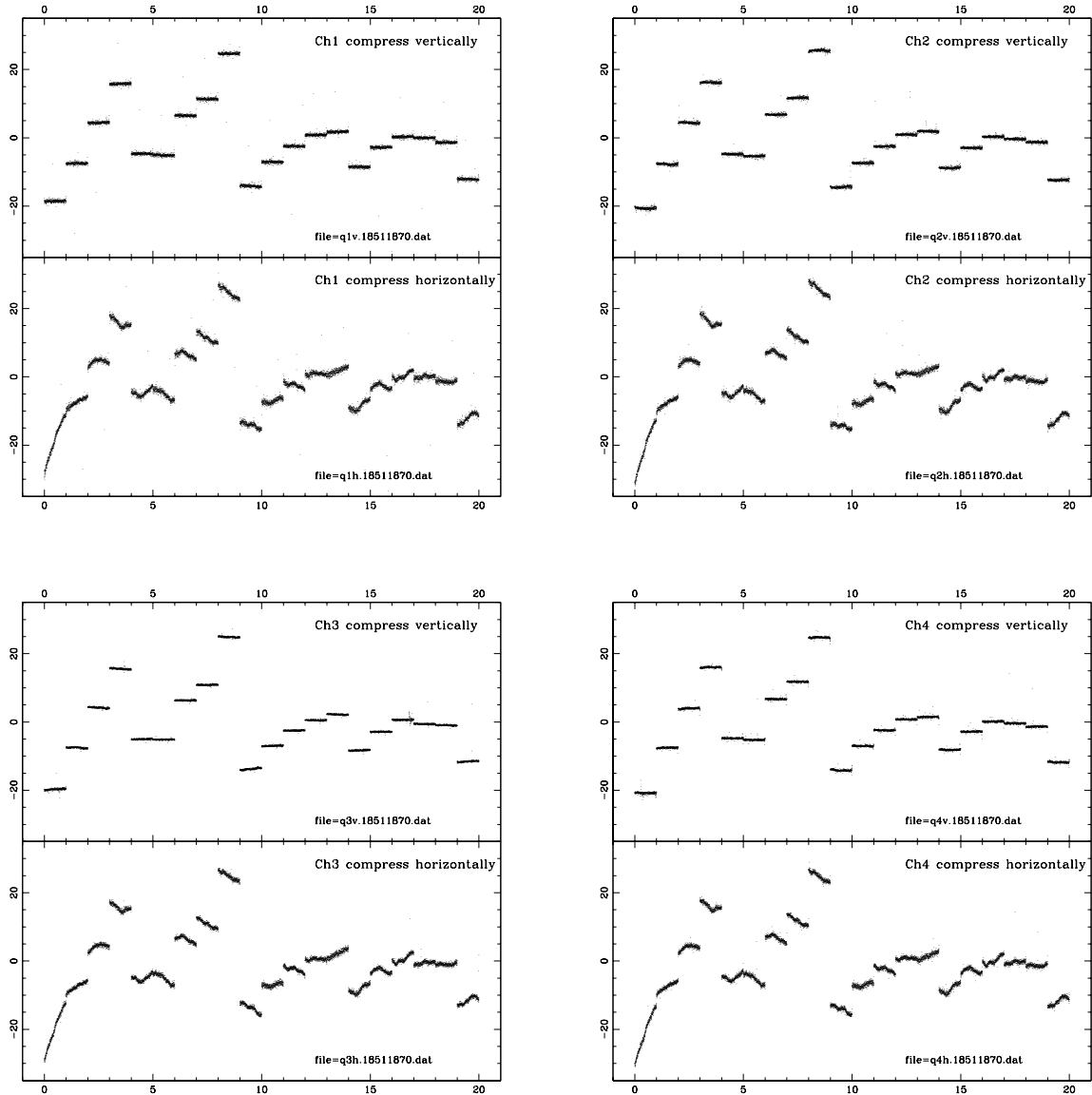


図 4: 2次元化した 1851~1870 フレーム。 $T_{int} = 12.0$ sec, $N_{\text{Sample}} = 4$

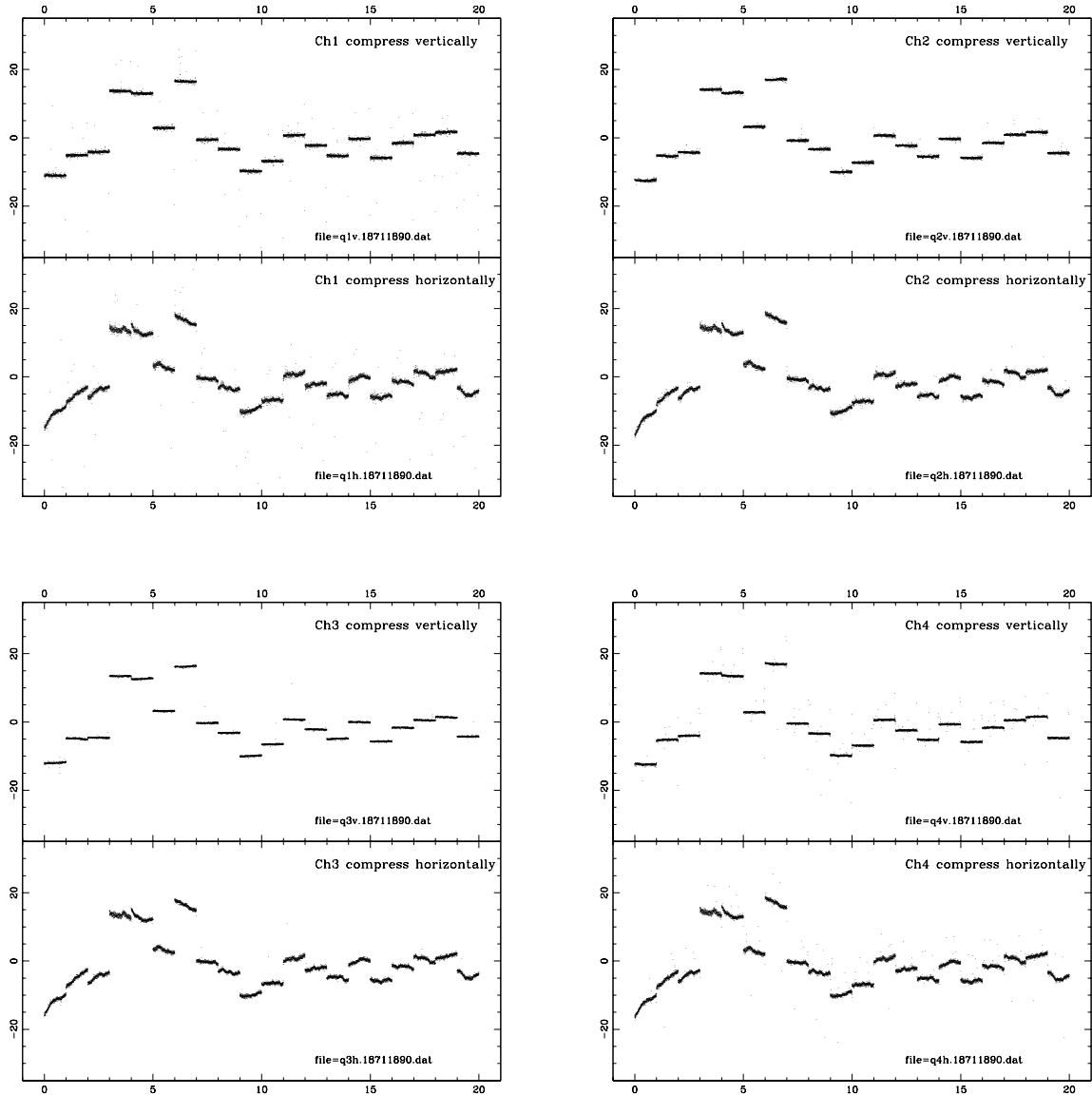


図 5: 2次元化した 1871~1890 フレーム。 $T_{int} = 12.0$ sec, $N_{\text{Sample}} = 6$

4.2 10/31

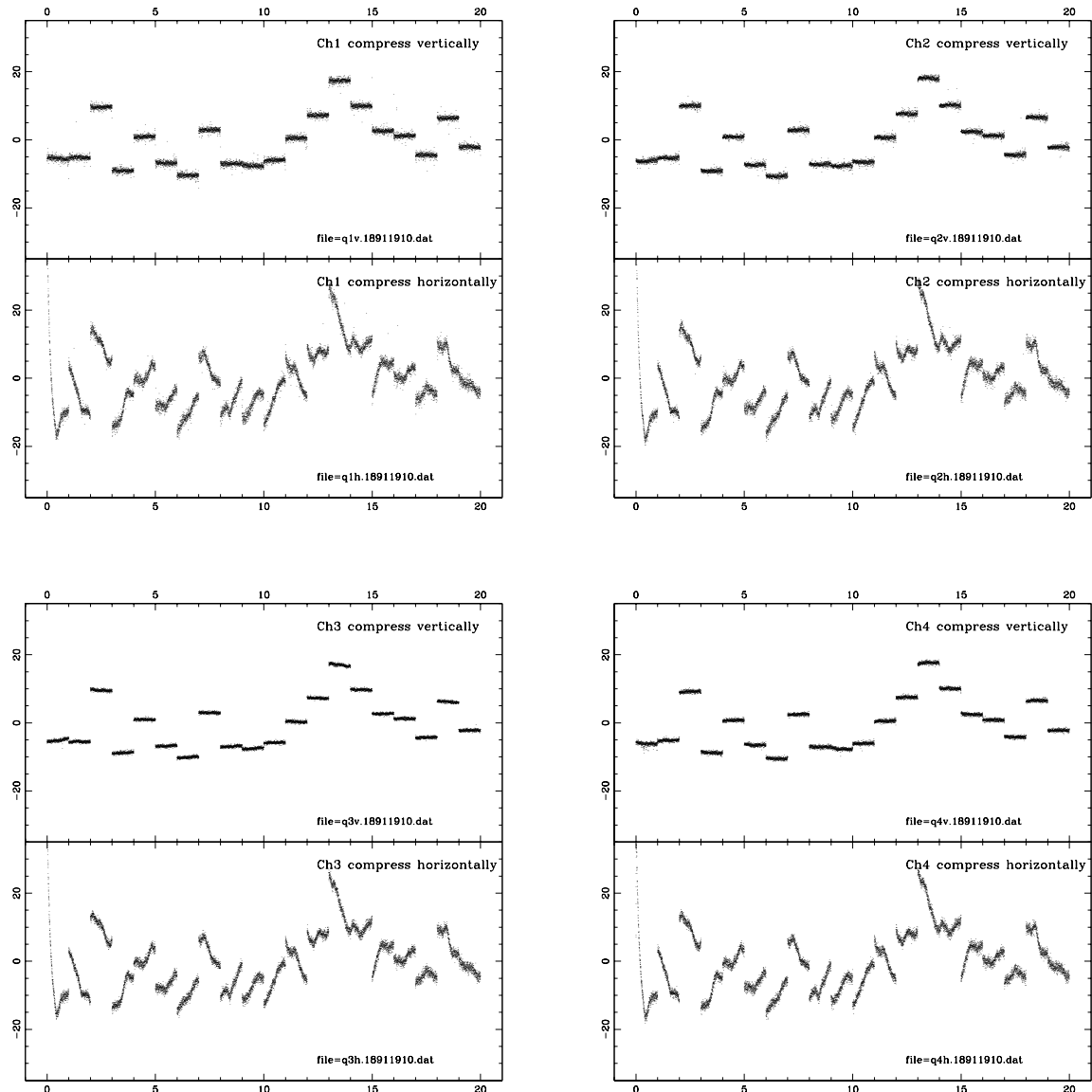


図 6: 2次元化した 1891~1910 フレーム。 $T_{int} = 3.0$ sec, $N_{\text{Sample}} = 1$

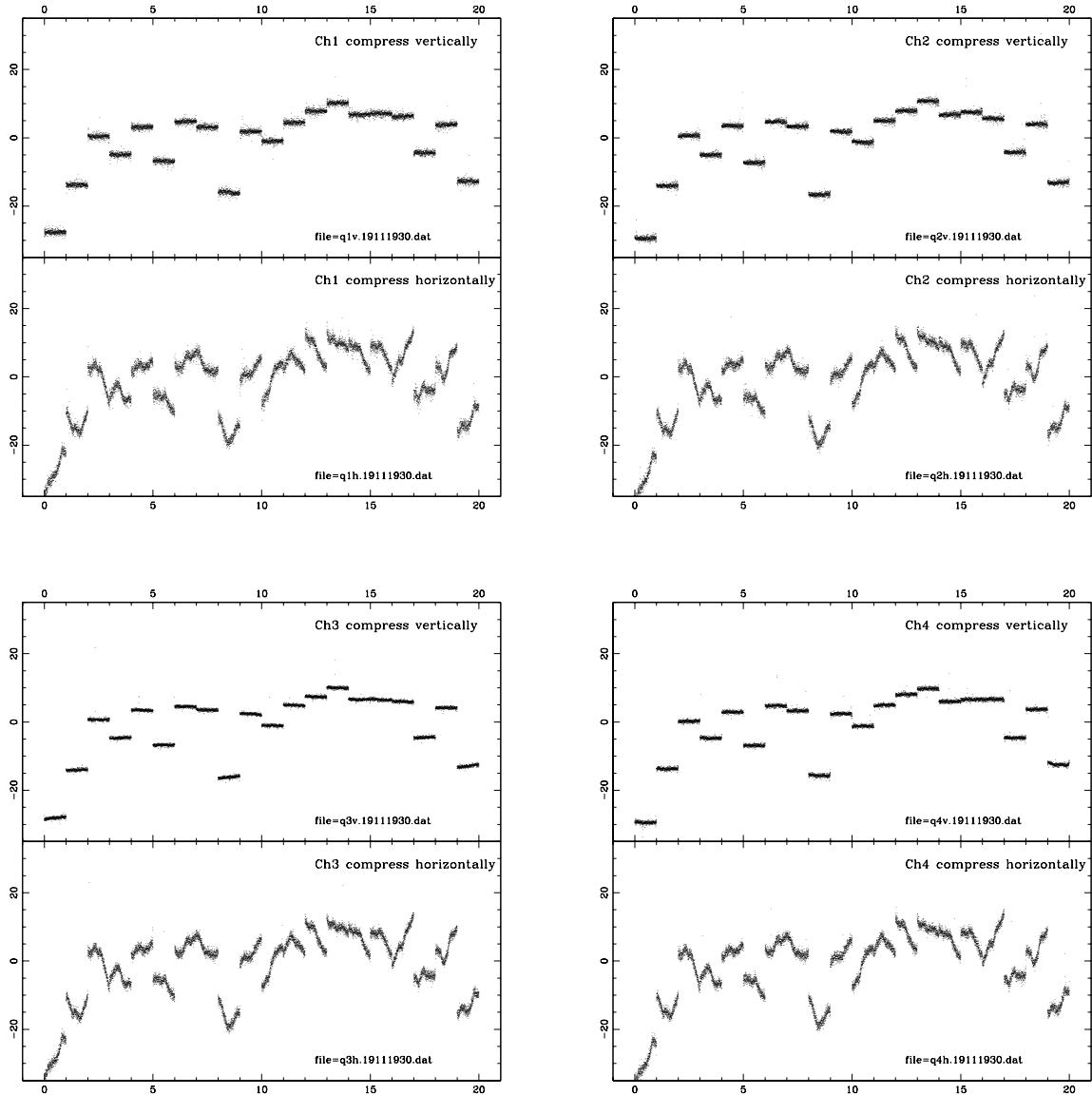


図 7: 2次元化した1911~1930 フレーム。 $T_{int} = 12.0$ sec, $N_{\text{Sample}} = 1$

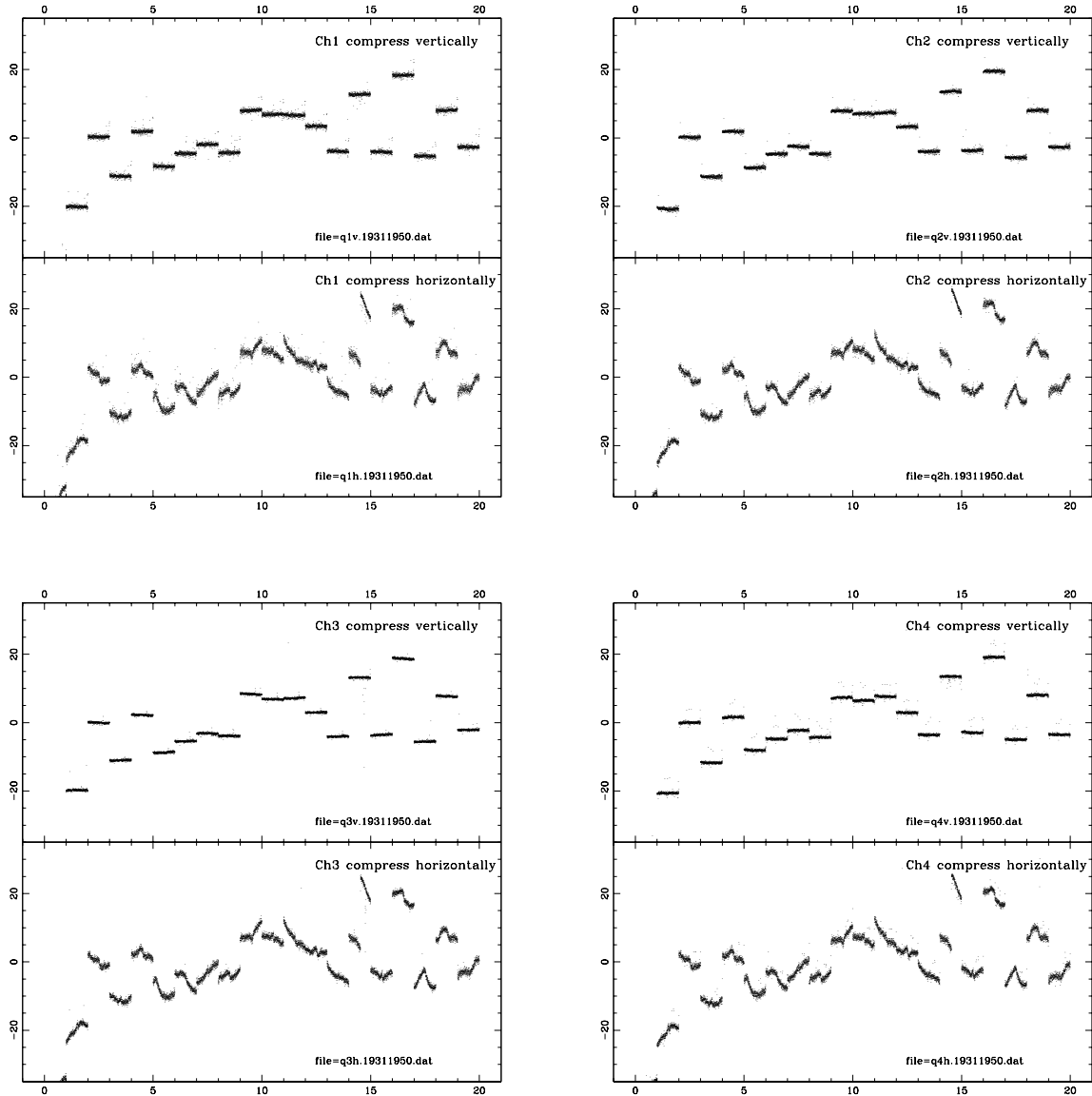


図 8: 2次元化した1931~1950 フレーム。 $T_{int} = 12.0$ sec, $N_{\text{Sample}} = 2$

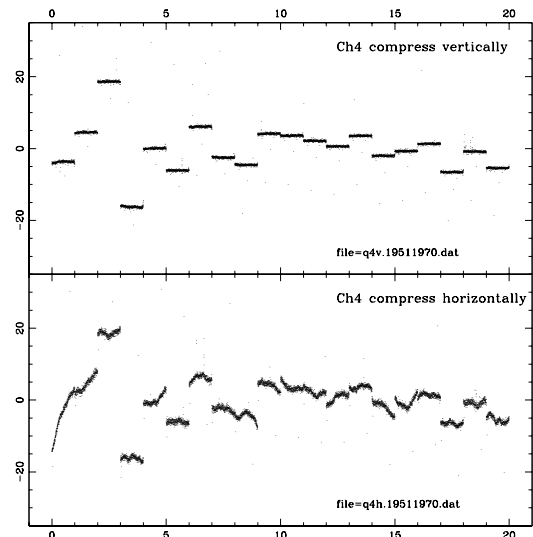
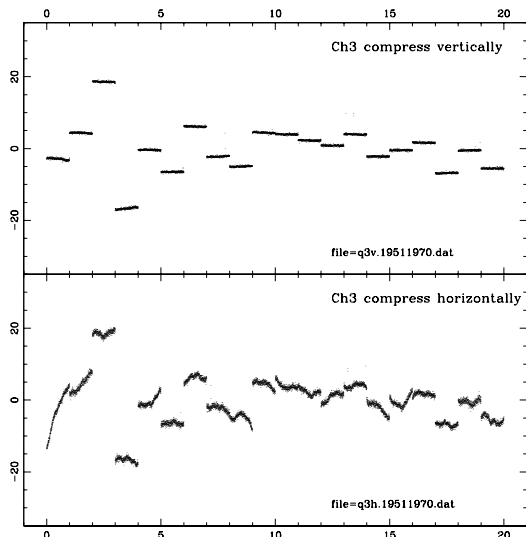
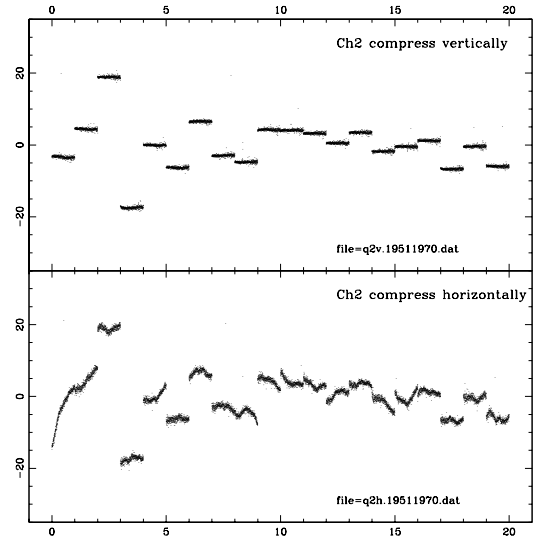
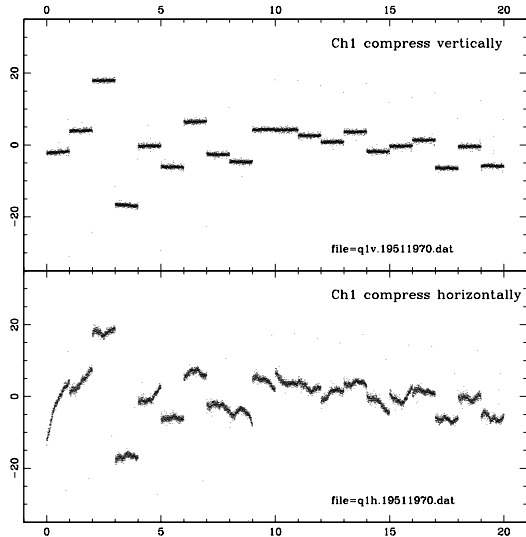


図 9: 2次元化した1951~1970 フレーム。 $T_{int} = 12.0$ sec, $N_{\text{Sample}} = 3$

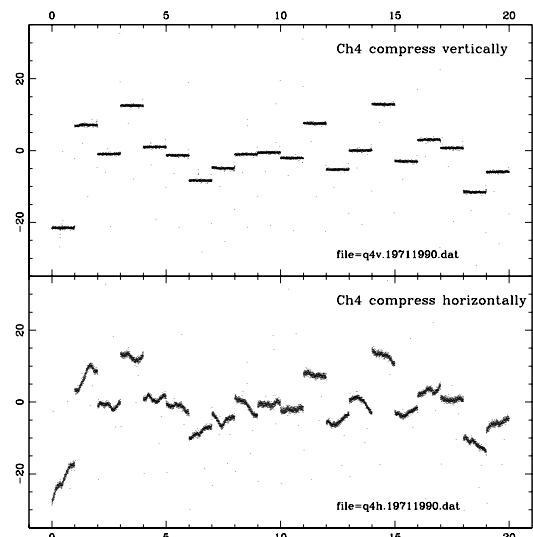
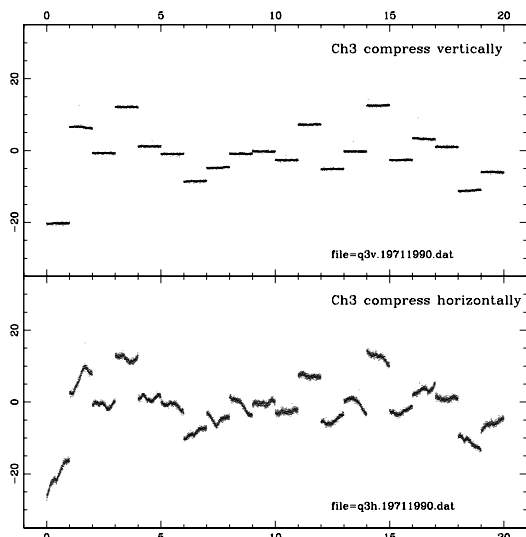
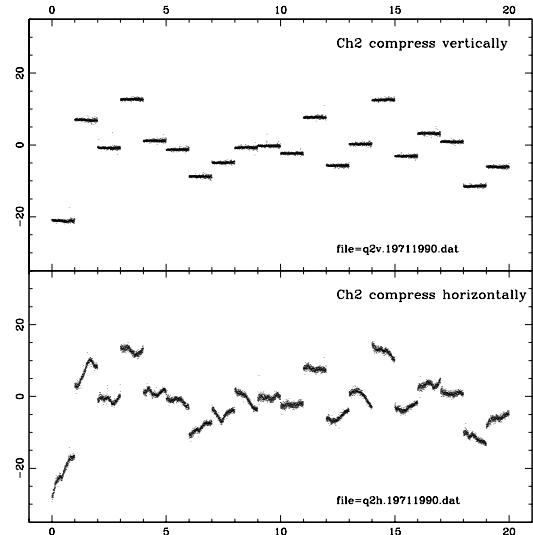
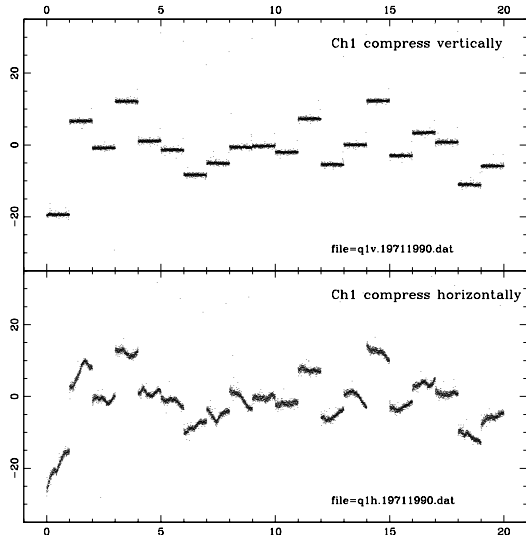


図 10: 2次元化した1971~1990 フレーム。 $T_{int} = 12.0$ sec, $N_{\text{Sample}} = 4$

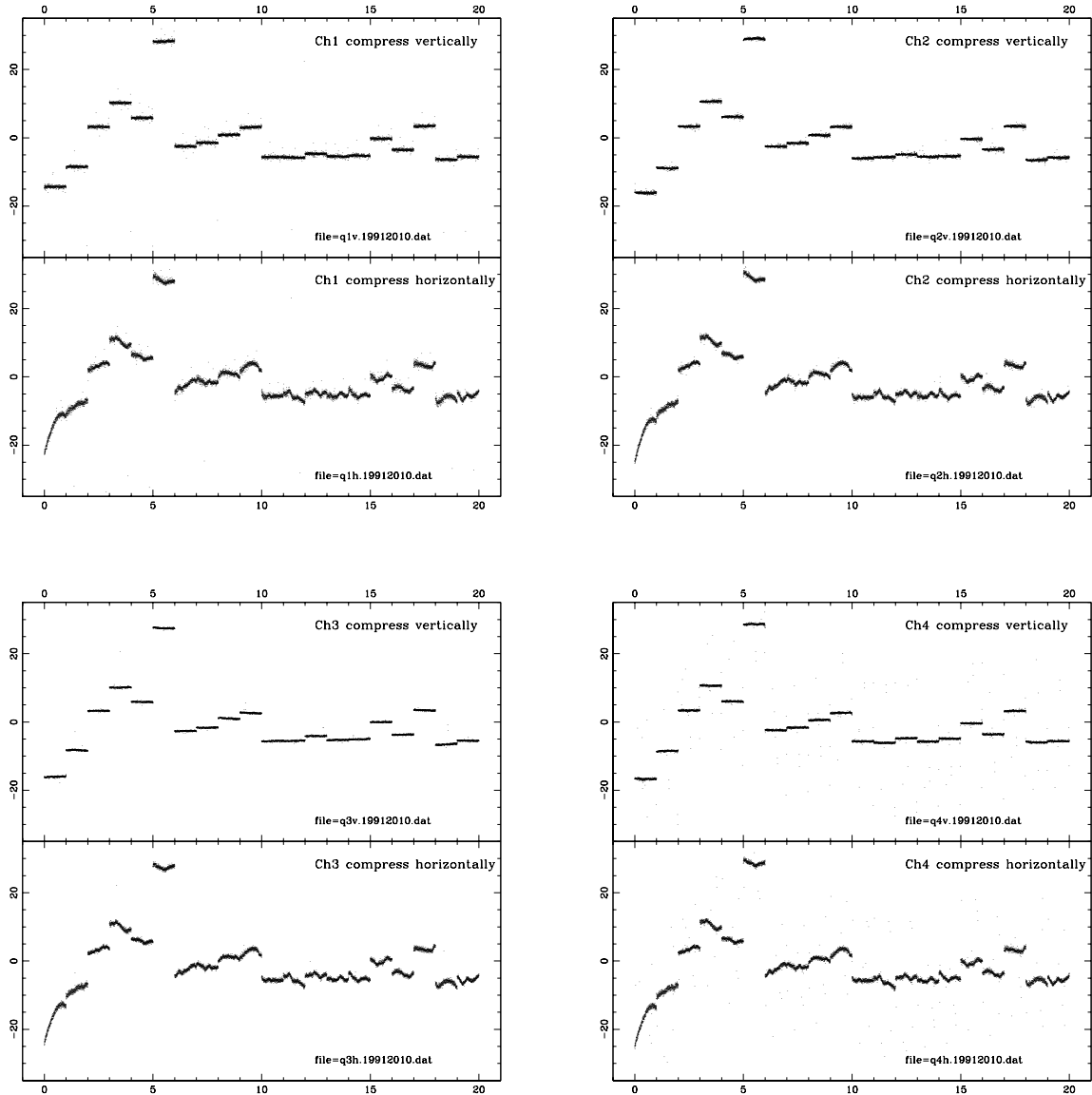


図 11: 2次元化した1991~2010 フレーム。 $T_{int} = 12.0$ sec, $N_{\text{Sample}} = 5$

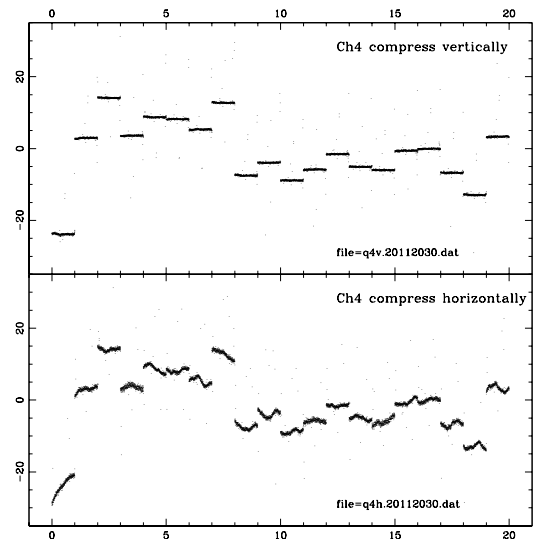
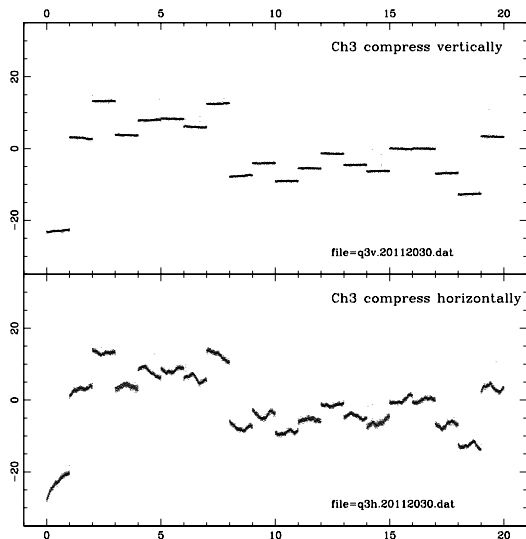
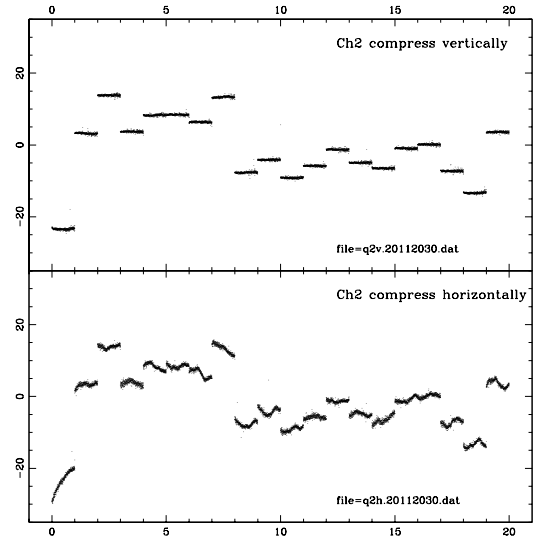
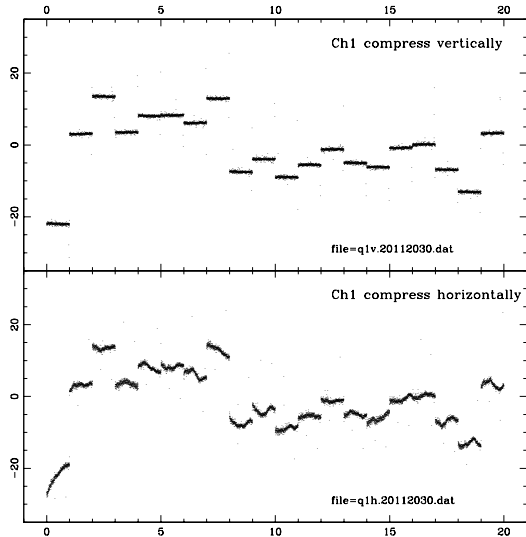


図 12: 2次元化した2011~2030 フレーム。 $T_{int} = 12.0$ sec, $N_{\text{Sample}} = 6$

5 議論

5.1 マルチサンプル

N_{Sample} -Read noise の関係図を図 13に示す。この図でのノイズの値としては、傾きを補正した std-dev フレームにマスクをかけ、そのピクセル値の mean の値を用いている。いずれも、 $\text{Noise}(N_{\text{Sample}}) = \text{Noise}(1)/\sqrt{N_{\text{Sample}}}$ の直線に良くのっている。

ただ、冷却して 1 晩おいたデータの方で、 $N_{\text{Sample}} = 2$ のノイズの値が大きめにでているようである。

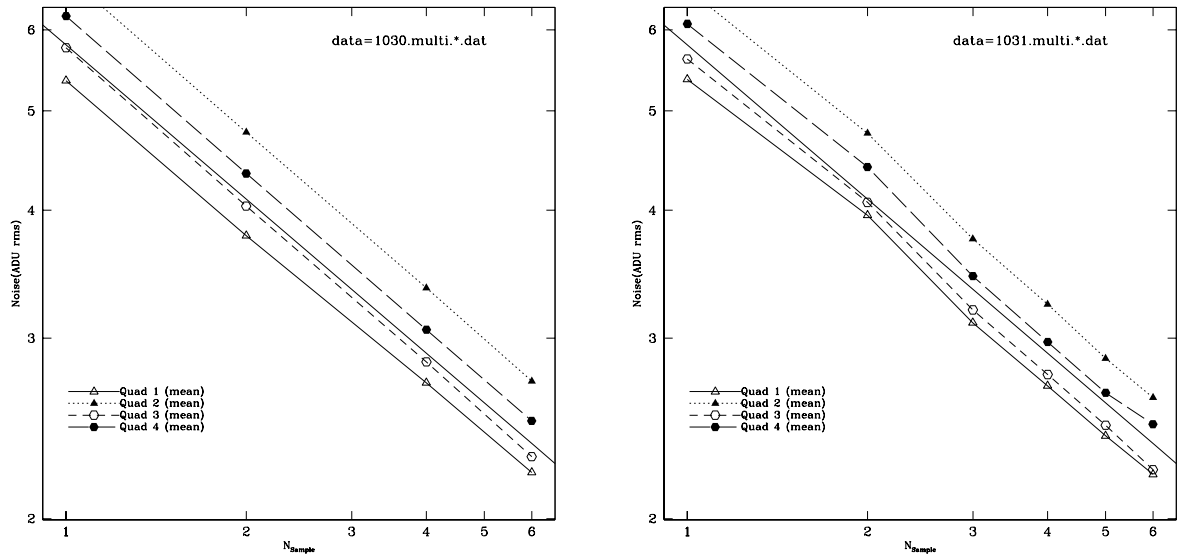


図 13: 左が 1811-1890(77K) 右が 1911-2030(77K) のフレームの N_{Sample} -Read noise 関係。